

УДК 517.518.1+517.518.17

## ФРАКТАЛ «ЛЯГУШКА»

А. Господарчик

**Аннотация.** В [1–3] исследованы некоторые аналитические свойства кривой Ван Коха  $\Gamma_\theta$ ,  $\theta \in (0, \frac{\pi}{4})$ . В частности, показано, что  $\Gamma_\theta$  квазиконформна и не АС-устранима. Возникает естественный вопрос: можно ли найти квазиконформную и не АС-устранимую кривую, существенно отличную от  $\Gamma_\theta$ , т. е. не диффеоморфную  $\Gamma_\theta$ ? В статье дан ответ на этот вопрос. А именно, построена квазиконформная кривая, названная *лягушкой*, которая не АС-устранима и не диффеоморфна  $\Gamma_\theta$  для всех  $\theta \in (0, \frac{\pi}{4})$ .

**Ключевые слова:** ковер Серпинского, квазиконформная кривая, фрактал, итерированная система функций,  $BL^\beta$ -пространство, хаусдорфова размерность, АС-устранимость, кривая Ван Коха, диффеоморфизм.

### 1. Построение лягушки $\mathfrak{F}$

Идея кривой «лягушка»<sup>1)</sup> пришла при изучении дракона Серпинского (см. [4, с. 23]), который не является кривой в нашем понимании<sup>2)</sup>. В отличие от дракона Серпинского и кривой Ван Коха лягушка имеет более сложную конструкцию.

Ее построение начнем с индуктивного описания последовательности замкнутых треугольников  $\{\Delta_k^n\}$ ,  $n \in \{0\} \cup \mathbb{N}$ ,  $k \in \{1, \dots, 6^n\}$ , и последовательности ломаных  $\{L^n\}$ ,  $n \in \{0\} \cup \mathbb{N}$ , которые формируют приближение лягушки. Начнем с равностороннего треугольника  $\Delta_1^0$  ранга нуль с вершинами  $0, 1, \frac{1}{2} + i\frac{\sqrt{3}}{2}$  (рис. 1(a)).

**Шаг 0.** Определим ломаную ранга нуль, полагая  $L^0 = s_1^0 \cup s_2^0$ , где  $s_1^0, s_2^0$  — ориентированные отрезки  $s_1^0 = [0, \frac{1}{2} + i\frac{\sqrt{3}}{2}]$ ,  $s_2^0 = [\frac{1}{2} + i\frac{\sqrt{3}}{2}, 1]$ <sup>3)</sup>. Далее  $m$ -й ориентированный отрезок ранга  $n$  обозначаем через  $s_m^n$ . Сторону треугольника, не являющуюся отрезком вида  $s_m^n$ , назовем *основанием* этого треугольника. Например, основанием  $\Delta_1^0$  является  $[0, 1]$ .

**Шаг 1.** К  $\Delta_1^0$  с основанием  $[0, 1]$  применим два последовательных шага построения ковра Серпинского (см. [4, с. 8]) так, как показано на рис. 1(b).

Затем удалим треугольники  $T_1, T_2, T_3$  (рис. 1(c)). Останется 6 треугольников  $\Delta_1^1, \dots, \Delta_6^1$  ранга один. В каждом таком треугольнике возьмем две стороны (выделенные отрезки на рис. 2(b)). В результате получим  $2 \cdot 6$  отрезков  $s_m^1$ ,  $m = 1, \dots, 2 \cdot 6$ . Положим

$$L^1 = \bigcup_{m=1}^{2 \cdot 6} s_m^1,$$

<sup>1)</sup>Это название порождено впечатлением, создаваемым третьей картинкой на рис. 2.

<sup>2)</sup>Под кривой понимаем непрерывный инъективный образ замкнутого промежутка.

<sup>3)</sup>В нашем контексте каждый отрезок  $[a, b] \subset \mathbb{C}$  с концами  $a, b$  всегда ориентирован от  $a$  к  $b$ .

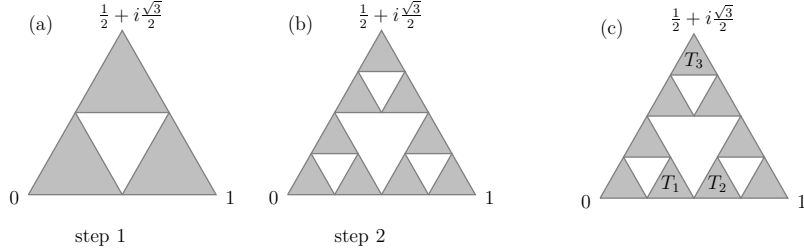


Рис. 1. Два последовательных шага в построении ковra Серпинского.

что завершает первый шаг в построении лягушки.

ШАГ 2. Применяя описанную конструкцию к каждому из  $\Delta_1^1, \dots, \Delta_6^1$  (напомним, что их основания отличны от  $s_m^1, m = 1, \dots, 2 \cdot 6$ ), получим на этом шаге  $6^2$  треугольников  $\Delta_k^2, k = 1, \dots, 6^2$ , ранга два и  $2 \cdot 6^2$  отрезков  $s_m^2, m = 1, \dots, 2 \cdot 6^2$ . Положим

$$L^2 = \bigcup_{m=1}^{2 \cdot 6^2} s_m^2.$$

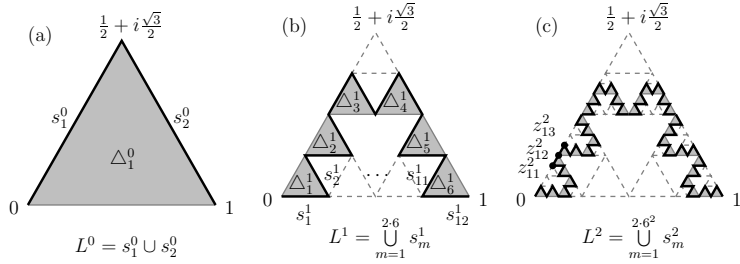


Рис. 2. Три последовательных шага в построении лягушки  $\mathfrak{F}$ .

ШАГ  $n$ . Продолжая процесс, на  $n$ -м шаге получим  $6^n$  треугольников  $\Delta_k^n, k = 1, \dots, 6^n$ , ранга  $n$ , а также  $2 \cdot 6^n$  (выделенных) отрезков  $s_m^n, m = 1, \dots, 2 \cdot 6^n$ . Положим

$$L^n = \bigcup_{m=1}^{2 \cdot 6^n} s_m^n. \tag{1}$$

Заметим, что треугольники ранга  $n + 1$  содержатся в объединении треугольников ранга  $n$ . Наконец, определим лягушку  $\mathfrak{F}$ :

$$\mathfrak{F} := \bigcap_{n=0}^{\infty} \bigcup_{k=1}^{6^n} \Delta_k^n. \tag{2}$$

ЗАМЕЧАНИЕ 1. Из определения  $\mathfrak{F}$  вытекают следующие свойства.

- (i)  $s_{2k-1}^n \cup s_{2k}^n \subset \Delta_k^n$  для любых  $n \in \{0\} \cup \mathbb{N}, k \in \{1, \dots, 6^n\}$ .
- (ii) Если  $z \in \mathfrak{F}$ , то для любого  $n \in \{0\} \cup \mathbb{N}$  существует  $k \in \{1, \dots, 6^n\}$  такое, что  $z \in \Delta_k^n$ .
- (iii) Если  $z_m^n, n \in \{0\} \cup \mathbb{N}, m = 0, 1, \dots, 2 \cdot 6^n$ , — вершины  $L^n$  такие, что  $s_m^n = [z_{m-1}^n, z_m^n]$ , то

$$\forall n \in \{0\} \cup \mathbb{N} \forall k \in \{1, \dots, 6^n\} \quad z_{2k}^n \in \mathfrak{F}. \tag{3}$$

Заметим, что «нечетные» вершины  $z_{2k+1}^n$  исчезают при переходе к шагу  $n + 1$  и последующим шагам. В отличие от «нечетных» «четные» вершины  $z_{2k}^n$  не исчезают никогда (ср. (3)), при этом их число растет неограниченно при  $n \rightarrow \infty$ , так что множество всех «четных» вершин плотно в  $\mathfrak{F}$ .

(iv) Для любых  $s_m^n, n \in \{0\} \cup \mathbb{N}, m \in \{1, \dots, 2 \cdot 6^n\}$ , существует бесконечно много четных вершин, принадлежащих  $s_m^n$ .

В дальнейшем эти свойства окажутся востребованными.

Докажем, что

$$\mathfrak{F} = \lim L^n. \tag{4}$$

Пусть  $z \in \mathfrak{F}$ . Ясно, что для каждой окрестности  $U$  точки  $z$  существует  $n$  такое, что для любого  $k > n$  найдется  $z_k \in L^k \cap U$ . Отсюда  $\mathfrak{F} \subset \liminf L^n$ . Поскольку  $\liminf L^n \subset \limsup L^n \subset \mathfrak{F}$  (см. (2)), получаем (4).

### 2. Алгоритм определения вершины $L^n$

В этом разделе опишем углы, образованные  $s_m^n, n \in \{0\} \cup \mathbb{N}, m = 1, \dots, 2 \cdot 6^n$ . Для любого  $n \in \{0\} \cup \mathbb{N}$  обозначим через  $A_n$  упорядоченное множество углов  $\phi_{n,m}, m = 1, \dots, 2 \cdot 6^n$ , образованных ориентированными отрезками  $s_m^n = [z_{m-1}^n, z_m^n]$  с осью  $Ox$ , где  $z_m^n, m = 0, 1, \dots, 2 \cdot 6^n$ , — вершины  $L^n$  ( $z_0^n = 0, z_{2 \cdot 6^n}^n = 1$ ). Пусть  $\alpha = \frac{\pi}{3}$ . Очевидно, что  $A_0 = \{\alpha, -\alpha\} = \{\phi_{0,1}, \phi_{0,2}\}$ . Зададим на каждом  $A_n$  естественный порядок в соответствии с естественным порядком отрезков  $s_m^n$  или, что равносильно, с естественным порядком на  $\{1, \dots, 2 \cdot 6^n\}$ . Простое геометрическое изучение конструкции  $L^n$  показывает, что верны рекуррентные соотношения

$$A_0 = \{\alpha, -\alpha\} = \{\phi_{0,1}, \phi_{0,2}\}$$

и для любого  $n \in \mathbb{N}$

$$A_n = (-A_{n-1} + \alpha) \oplus (-A_{n-1} + \alpha) \oplus A_{n-1} \oplus A_{n-1} \oplus (-A_{n-1} - \alpha) \oplus (-A_{n-1} - \alpha), \tag{5}$$

где использовано стандартное обозначение  $E + r = \{x + r, x \in E\}$  для  $E \subset \mathbb{R}, r \in \mathbb{R}$ , и через  $\oplus$  обозначена прямая сумма упорядоченных множеств. Для наглядности выпишем несколько первых  $A_n$ :

$$A_1 = \{ \underbrace{0, 2\alpha}_{-A_0+\alpha}, \underbrace{0, 2\alpha}_{-A_0+\alpha}, \underbrace{\alpha, -\alpha}_{A_0}, \underbrace{\alpha, -\alpha}_{A_0}, \underbrace{-2\alpha, 0}_{-A_0-\alpha}, \underbrace{-2\alpha, 0}_{-A_0-\alpha} \} = \{\phi_{1,1}, \dots, \phi_{1,2 \cdot 6}\};$$

$$A_2 = \{ \underbrace{\alpha, -\alpha, \alpha, -\alpha, 0, 2\alpha, 0, 2\alpha, 3\alpha, \alpha, 3\alpha, \alpha}_{-A_1+\alpha}, \underbrace{\alpha, -\alpha, \alpha, -\alpha, 0, 2\alpha, 0, 2\alpha, 3\alpha, \alpha, 3\alpha, \alpha, 0, 2\alpha, 0, 2\alpha, \alpha, -\alpha, \alpha, -\alpha, -2\alpha, 0, -2\alpha, 0}_{-A_1+\alpha}, \underbrace{0, 2\alpha, 0, 2\alpha, \alpha, -\alpha, \alpha, -\alpha, -2\alpha, 0, -2\alpha, 0}_{-A_1}, \underbrace{-\alpha, -3\alpha, -\alpha, -3\alpha, -2\alpha, 0, -2\alpha, 0, \alpha, -\alpha, \alpha, -\alpha}_{-A_1-\alpha}, \underbrace{-\alpha, -3\alpha, -\alpha, -3\alpha, -2\alpha, 0, -2\alpha, 0, \alpha, -\alpha, \alpha, -\alpha}_{-A_1-\alpha} \}.$$

Соотношение (5) позволяет явно найти все вершины каждого  $L^n$ :

$$z_m^n = z_{m-1}^n + (1/4)^n \cdot e^{i\phi_n, m}, \quad n \in \{0\} \cup \mathbb{N}, \quad m = 1, \dots, 2 \cdot 6^n, \quad (6)$$

где  $z_0^n = 0$  для всех  $n$ .

Заметим, что (5), (6) могут быть легко использованы для демонстрации  $L^n$  на компьютере.

### 3. Параметризация лягушки $\mathfrak{F}$

В этом разделе введем параметризацию лягушки  $\mathfrak{F}$  и покажем, что эта параметризация удовлетворяет двустороннему неравенству Гёльдера. Каждому  $L^n$  поставим в соответствие единственное биективное кусочно аффинное отображение  $\psi_n : [0, 1] \rightarrow L^n$ . Последовательность  $\{\psi_n\}$  определим следующим образом:

(i)  $\psi_n(0) = 0, \psi_n(1) = 1$ ;

(ii) для каждого  $m, m \in \{1, \dots, 2 \cdot 6^n\}$ , ограничение  $\psi_n|_{I_m^n}$ , где  $I_m^n = [\frac{m-1}{2 \cdot 6^n}, \frac{m}{2 \cdot 6^n}]$ , — аффинное отображение  $I_m^n$  на  $s_m^n$ , и  $\psi_n(\frac{m}{2 \cdot 6^n}) = z_m^n$  при  $m \in \{0, 1, \dots, 2 \cdot 6^n\}$ .

Очевидно, что  $\psi_n$  определено корректно и является непрерывной биекцией  $[0, 1]$  на  $L^n$ . Таким образом,  $\psi_n$  — параметризация ориентированной ломаной  $L^n$ .

**Теорема 2.** *Существует равномерный предел*

$$\psi = \lim_{n \rightarrow \infty} \psi_n, \quad (7)$$

который является гомеоморфизмом  $[0, 1]$  на  $\mathfrak{F}$ , где  $\mathfrak{F}$  снабжена обычной метрикой  $|z_1 - z_2|$ .

**ДОКАЗАТЕЛЬСТВО.** Пусть дано  $\epsilon > 0$ . Выберем  $n \in \mathbb{N}$  так, что  $\frac{1}{4^n} < \epsilon$ . Для произвольного  $t \in [0, 1]$  существует  $k \in \{1, \dots, 6^n\}$  такое, что  $\psi_n(t) \in \Delta_k^n$ . Тогда для каждого  $p \in \mathbb{N}$  точка  $\psi_{n+p}(t)$  принадлежит некоторому треугольнику  $\Delta_r^{n+p} \subset \Delta_k^n$ , так что  $\psi_{n+p}(t) \in \Delta_k^n$ . Тем самым

$$|\psi_n(t) - \psi_{n+p}(t)| \leq \text{diam } \Delta_k^n = \frac{1}{4^n} < \epsilon. \quad (8)$$

Отсюда следует, что предел (7) существует и сходимость  $\psi_n \rightarrow \psi$  равномерна на  $[0, 1]$ . Тем самым функция  $\psi$  непрерывна. Опустим элементарное доказательство того, что  $\psi$  — гомеоморфизм.  $\square$

**ОПРЕДЕЛЕНИЕ 3.** Назовем  $\psi$  параметризацией лягушки  $\mathfrak{F}$ .

### 4. Двустороннее неравенство Гёльдера для параметризации

**Теорема 4.** *Для любых  $t_1, t_2 \in [0, 1]$  имеют место неравенства*

$$\frac{\sqrt{3}}{2} \cdot 12^{-\beta} |t_1 - t_2|^\beta \leq |\psi(t_1) - \psi(t_2)| \leq 8 |t_1 - t_2|^\beta, \quad (9)$$

где  $\beta = \log_6 4 = \frac{2}{\log_2 6}$ .

**ДОКАЗАТЕЛЬСТВО.** Пусть  $t_1, t_2 \in [0, 1]$ . Положим  $z_1 = \psi(t_1), z_2 = \psi(t_2)$ . Предположим, что  $z_1$  предшествует  $z_2$ , что по определению значит, что  $t_1 < t_2$ .

Пусть  $s \in \{0\} \cup \mathbb{N}$  — максимальное число, для которого  $z_1, z_2$  принадлежат одному треугольнику  $\Delta_k^s$ ,  $k \in \{1, \dots, 6^s\}$ . Рассмотрим шаг  $s + 1$  построения  $\mathfrak{F}$ . Возможны следующие случаи.

Случай I. Точки  $z_1, z_2$  принадлежат двум разным треугольникам ранга  $s + 1$ , и существует по крайней мере один треугольник того же ранга  $s + 1$ , разделяющий эти два треугольника (рис. 3).

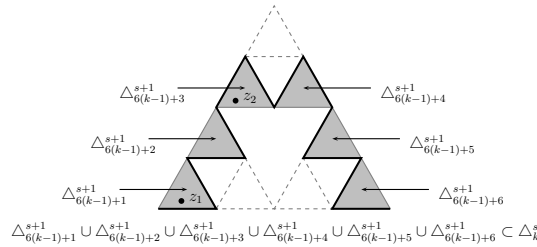


Рис. 3. Треугольник  $\Delta_k^s$ , случай I.

После изучения всех возможных расположений  $z_1, z_2$  в  $\Delta_k^s$  элементарными вычислениями получим

$$\frac{\sqrt{3}}{2} \cdot \frac{1}{4^{s+1}} \leq |z_1 - z_2| \leq \frac{4}{4^{s+1}}, \quad \frac{1}{6^{s+1}} \leq |t_1 - t_2| \leq \frac{6}{6^{s+1}}, \quad (10)$$

откуда

$$|\psi(t_1) - \psi(t_2)| = |z_1 - z_2| \leq 4 \cdot 4^{-s-1} = 4 \cdot (6^{-s-1})^\beta \leq 4 \cdot |t_1 - t_2|^\beta \quad (11)$$

и

$$|\psi(t_1) - \psi(t_2)| = |z_1 - z_2| \geq \frac{\sqrt{3}}{2} \cdot 4^{-s-1} = \frac{\sqrt{3}}{2} \cdot (6^{-s-1})^\beta \geq \frac{\sqrt{3}}{2} \cdot 6^{-\beta} \cdot |t_1 - t_2|^\beta, \quad (12)$$

где  $\beta = \log_6 4$ . Из (11) и (12) имеем

$$\frac{\sqrt{3}}{2} \cdot 6^{-\beta} \cdot |t_1 - t_2|^\beta \leq |\psi(t_1) - \psi(t_2)| \leq 4 \cdot |t_1 - t_2|^\beta, \quad (13)$$

где  $\beta = \log_6 4$ .

Случай II. Точки  $z_1, z_2$  принадлежат смежным треугольникам ранга  $s + 1$  с общей вершиной  $z^*$ . Легко проверить, что существует пять возможных конфигураций треугольников ранга  $s + 1$ , содержащих  $z_1, z_2, z^*$ . На рис. 4 показаны две из них.

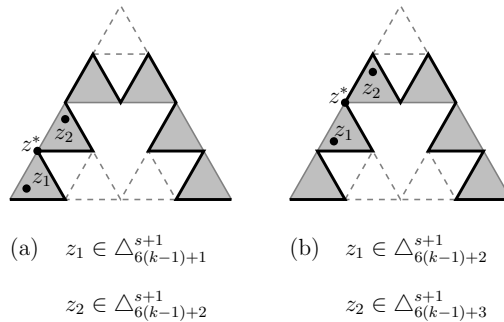


Рис. 4. Треугольник  $\Delta_k^s$ , случай II.

Две из оставшихся конфигураций аналогичны (а), тогда как третья подобна (б). Достаточно рассмотреть только одну конфигурацию, например (а) на рис. 4. Пусть  $n \in \{0\} \cup \mathbb{N}$  — максимальное число, для которого  $z_1, z_2$  принадлежат соседним треугольникам  $\Delta_j^n, \Delta_{j+1}^n$  с общей вершиной  $z^*$  для некоторого  $j$ . Ясно, что  $n \geq s + 1$ . На шаге  $n + 1$  точки  $z_1, z_2$  принадлежат разным треугольникам ранга  $n + 1$ . Эти треугольники разделены по крайней мере одним треугольником ранга  $n + 1$ . В случае (а) две конфигурации (а.1), (а.2) возможны, как показано на рис. 5. Для оставшихся случаев две возможные конфигурации (б.1), (б.2) приведены на рис. 5 (они могут быть получены из (а.1), (а.2), если поменять местами верхние половинки (а.1) и (а.2)). Конфигурация (а.1) соответствует  $n = s + 1$  (нечетное число), тогда как (а.2) соответствует  $n = s + 2$  (четное число).

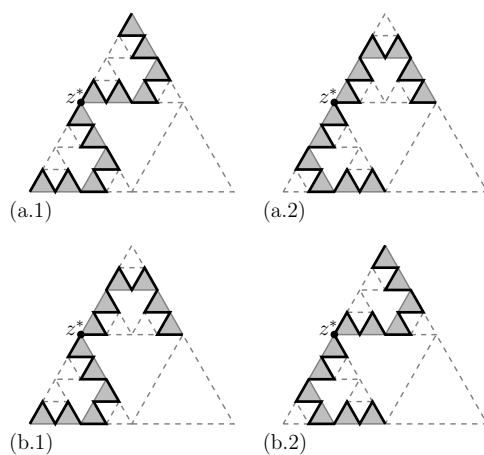


Рис. 5. Случай (а) и (б).

Аналогично (10), не повторяя подробности, получим следующие оценки:

$$\frac{\sqrt{3}}{2} \cdot \frac{1}{4^{n+1}} \leq |z_1 - z_2| \leq \frac{8}{4^{n+1}}, \quad \frac{1}{6^{n+1}} \leq |t_1 - t_2| \leq \frac{12}{6^{n+1}}. \quad (14)$$

Числовые коэффициенты в других случаях те же, что и в (14). Имеем

$$\frac{\sqrt{3}}{2} \cdot 12^{-\beta} \cdot |t_1 - t_2|^\beta \leq |\psi(t_1) - \psi(t_2)| \leq 8 \cdot |t_1 - t_2|^\beta, \quad (15)$$

где  $\beta = \log_6 4$ .

Окончательно в случаях I и II (см. (13) и (15)) для любых  $t_1, t_2 \in [0, 1]$  получаем

$$\frac{\sqrt{3}}{2} \cdot 12^{-\beta} \cdot |t_1 - t_2|^\beta \leq |\psi(t_1) - \psi(t_2)| \leq 8 \cdot |t_1 - t_2|^\beta, \quad (16)$$

где  $\beta = \log_6 4$ . □

### 5. Лягушка $\mathfrak{F}$ — квазиконформная кривая

Основные термины, связанные с квазиконформными отображениями, см., например, в [5].

ОПРЕДЕЛЕНИЕ 5 [3]. Дуга  $C \subset \mathbb{C}$  квазиконформна, если существуют область  $G \subset \mathbb{C}$ , квазиконформное отображение  $\Phi : G \rightarrow \mathbb{C}$  и замкнутый интервал  $I \subset G$  такие, что  $C = \Phi(I)$ .

ОПРЕДЕЛЕНИЕ 6 [2, 6]. Дуга  $C \subset \mathbb{C}$  удовлетворяет условию Альфорса с постоянной  $M \geq 1$ , если неравенство

$$|z_1 - z_2| + |z_2 - z_3| \leq M|z_1 - z_3|$$

верно для всех точек  $z_1, z_2, z_3 \in C$  таких, что  $z_2$  разделяет  $z_1$  и  $z_3$ .

**Теорема 7** [2, 6]. Для того чтобы дуга  $C$  была квазиконформна, необходимо и достаточно, чтобы она удовлетворяла условию Альфорса.

ОПРЕДЕЛЕНИЕ 8 [2]. Отображение  $\psi : E \rightarrow \mathbb{C}$ ,  $E \subset \mathbb{R}$ , удовлетворяет условию Альфорса с постоянной  $M \geq 1$ , если соотношение

$$\forall t \in [t', t''] \cap E \quad |\psi(t') - \psi(t)| + |\psi(t) - \psi(t'')| \leq M|\psi(t') - \psi(t'')|$$

выполнено для любого отрезка  $[t', t'']$  такого, что  $t', t'' \in E$ .

ОПРЕДЕЛЕНИЕ 9 [2]. Множество  $X \subset \mathbb{C}$  удовлетворяет условию Альфорса с постоянной  $M \geq 1$ , если найдется отображение  $\psi : E \rightarrow \mathbb{C}$ , удовлетворяющее условию Альфорса с постоянной  $M$ , такое, что  $X = \psi(E)$ .

**Теорема 10.** Параметризация  $\psi : [0, 1] \rightarrow Z$  лягушки  $\mathfrak{F}$  удовлетворяет условию Альфорса с постоянной  $M = \frac{128}{\sqrt{3}}$ , т. е.

$$\forall t \in [t', t''] \cap [0, 1] \quad |\psi(t') - \psi(t)| + |\psi(t) - \psi(t'')| \leq \frac{128}{\sqrt{3}}|\psi(t') - \psi(t'')| \quad (17)$$

для всех интервалов  $[t', t'']$  таких, что  $t', t'' \in [0, 1]$ .

ДОКАЗАТЕЛЬСТВО. Пусть  $t, t', t'' \in [0, 1]$  таковы, что  $t \in [t', t'']$ . В силу теоремы 4 имеем

$$\begin{aligned} & |\psi(t') - \psi(t)| + |\psi(t) - \psi(t'')| \leq 8 \cdot (|t' - t|^\beta + |t - t''|^\beta) \\ &= 8 \cdot 2 \cdot \left( \frac{1}{2}|t' - t|^\beta + \frac{1}{2}|t - t''|^\beta \right) \leq 8 \cdot 2 \cdot \left| \frac{1}{2}t' - \frac{1}{2}t + \frac{1}{2}t - \frac{1}{2}t'' \right|^\beta = 8 \cdot 2 \cdot \left| \frac{1}{2}t' - \frac{1}{2}t'' \right|^\beta \\ &= 8 \cdot 2 \cdot \frac{1}{2^\beta} \cdot |t' - t''|^\beta \leq 8 \cdot 2 \cdot 2^{-\beta} \cdot \frac{2}{\sqrt{3}} \cdot 12^\beta \cdot |\psi(t') - \psi(t'')| \\ &= 2^{-\beta+1} \cdot \frac{16}{\sqrt{3}} \cdot 12^\beta |\psi(t') - \psi(t'')|. \end{aligned}$$

Легко проверить, что  $M = 2^{-\beta+1} \cdot \frac{16}{\sqrt{3}} \cdot 12^\beta = 6^\beta \cdot \frac{2^5}{\sqrt{3}} = \frac{128}{\sqrt{3}} > 1$ . Получаем

$$|\psi(t') - \psi(t)| + |\psi(t) - \psi(t'')| \leq \frac{128}{\sqrt{3}}|\psi(t') - \psi(t'')|$$

для  $t, t', t'' \in [0, 1]$  таких, что  $t \in [t', t'']$ ,  $\beta = \log_6 4$ .  $\square$

**Следствие 11.** Лягушка  $\mathfrak{F}$  удовлетворяет условию Альфорса

$$|z_1 - z_2| + |z_2 - z_3| \leq M|z_1 - z_3|$$

для всех точек  $z_1, z_2, z_3 \in Z$  таких, что  $z_2$  разделяет  $z_1$  и  $z_3$ ,  $M = \frac{128}{\sqrt{3}}$ .

Итак,  $\mathfrak{F}$  — квазиконформная кривая (по теореме 7).

**6. Хаусдорфова размерность лягушки  $\mathfrak{F}$**

ОПРЕДЕЛЕНИЕ 12 [7, 8]. Отображение  $f : X \rightarrow Y$  метрического пространства называется  $BL^\beta$ -отображением ( $\beta > 0$ ), если существует постоянная  $K$  такая, что

$$K^{-1}|x_1 - x_2|^\beta \leq |f(x_1) - f(x_2)| \leq K|x_1 - x_2|^\beta \tag{18}$$

для всех  $x_1, x_2 \in X$ .

**Следствие 13** [7, 8]. Если гомеоморфизм  $f : X \rightarrow Y$  является  $BL^\beta$ -отображением, то

$$\dim_H(X) = \beta \cdot \dim_H(Y). \tag{19}$$

Таким образом, из теоремы 4 немедленно вытекает

**Следствие 14.** Параметризация  $\psi : [0, 1] \rightarrow \mathfrak{F}$  лягушки является  $BL^\beta$ -отображением, и

$$\dim_H(\mathfrak{F}) = \frac{1}{\beta} = \log_4 6. \tag{20}$$

Из (20) ясно, что  $\mathfrak{F}$  — фрактал.

ОПРЕДЕЛЕНИЕ 15 [3]. Пусть  $\Omega$  — открытое подмножество  $\mathbb{C}$ . Множество  $E \subset \Omega$ , замкнутое в  $\Omega$ , называется *АС-устранимым* в  $\Omega$ , если каждая непрерывная функция  $f : \Omega \rightarrow \mathbb{C}$ , аналитичная в  $\Omega \setminus E$ , также аналитична в  $\Omega$ . Иначе говорим, что множество  $E$  *не АС-устранимо* (в  $\Omega$ ). Далее рассматриваем  $\Omega = \mathbb{C}$ .

**Теорема 16** [9]. Пусть  $E \subset \mathbb{C}$ . Если  $\dim_H E > 1$ , то  $E$  не АС-устранимо.

**Следствие 17.** Лягушка  $\mathfrak{F}$  не АС-устранима.

**7. Лягушка и кривая Ван Коха не диффеоморфны**

Для удобства читателя дадим краткое описание кривой Ван Коха (детали см. в [3]), а именно рассмотрим семейство кривых Ван Коха

$$\{\Gamma_\theta : \theta \in (0, \pi/4)\}. \tag{21}$$

Возьмем начальный треугольник  $T_1^0$  (ранга нуль) с вершинами  $0, 1, \frac{1}{2} + i\frac{\tan \theta}{2}$ , где  $\theta$  — угол у основания  $T_1^0$ . Далее последовательно удалим некоторую специальную последовательность равнобедренных открытых треугольников. На первом шаге удаляем треугольник с вершинами  $\lambda^2, 1 - \lambda^2, \frac{1}{2} + i\frac{\tan \theta}{2}$ , где  $\lambda = \frac{1}{2 \cos \theta}$ . Получаем два замкнутых треугольника  $T_1^1, T_2^1$  ранга один, каждый из которых подобен  $T_1^0$  (рис. 6). На  $n$ -м шаге построения получим  $2^n$  равных треугольников  $T_k^n$  ранга  $n$ , подобных  $T_1^0$ ,  $\text{diam } T_k^n = \lambda^n$ . По определению

$$\Gamma_\theta = \bigcap_{n=1}^{\infty} \bigcup_{k=1}^{2^n} T_k^n. \tag{22}$$

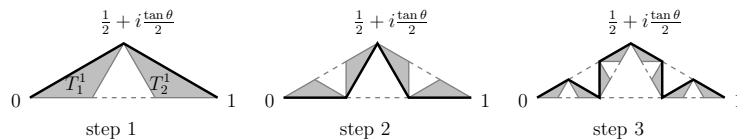


Рис. 6. Три последовательных шага построения кривой Ван Коха  $\Gamma_\theta, \theta \in (0, \frac{\pi}{4})$ .



**Теорема 18** [2, 3]. *Естественная параметризация  $\varphi$  кривой  $\Gamma$  удовлетворяет двустороннему условию Гёльдера:*

$$\forall t_1, t_2 \in [0, 1] \quad A(\theta)|t_1 - t_2|^\gamma \leq |\varphi(t_1) - \varphi(t_2)| \leq 4|t_1 - t_2|^\gamma, \quad (23)$$

где  $\gamma = \gamma(\theta) = \log_2 2 \cos \theta$  и

$$A(\theta) = \begin{cases} \frac{1}{4} \cos^2 \theta, & 0 < \theta < \frac{\pi}{8}, \\ \frac{\sin 3\theta}{8 \cos^3 \theta}, & \frac{\pi}{8} \leq \theta < \frac{\pi}{4}. \end{cases}$$

**Теорема 19** [2]. *Для любого  $\theta \in (0, \pi/4)$*

$$\dim_H \Gamma_\theta = \frac{1}{\log_2 2 \cos \theta}. \quad (24)$$

**Теорема 20.** *Лягушка  $\mathfrak{F}$  и кривая Ван Коха  $\Gamma_\theta$ ,  $\theta \in (0, \pi/4)$ , не диффеоморфны.*

**ДОКАЗАТЕЛЬСТВО.** Нетрудно проверить, что уравнение  $\dim_H \Gamma_\theta = \dim_H \mathfrak{F}$  имеет единственное решение

$$\theta_0 = \arccos 2^{\frac{1-\log_2 3}{1+\log_2 3}} (\approx \pi/6 + 0,022). \quad (25)$$

Следовательно,  $\Gamma_\theta$  не диффеоморфна  $\mathfrak{F}$  для всех  $\theta \in (0, \frac{\pi}{4}) \setminus \{\theta_0\}$ , поскольку диффеоморфизм сохраняет хаусдорфову размерность.

Осталось рассмотреть случай  $\theta = \theta_0$ . Докажем от противного. Пусть существует диффеоморфизм  $h : \mathcal{D} \rightarrow \mathcal{G}$ ,  $\Gamma_{\theta_0} \subset \mathcal{D}$ ,  $\mathfrak{F} \subset \mathcal{G}$ ,  $h(\Gamma_{\theta_0}) = \mathfrak{F}$ . Тогда легко заключить, что  $w_0 = h^{-1}(z_{12}^2)$  — общая вершина двух соседних треугольников  $T_{k-1}^m, T_k^m$ , использованных в построении  $\Gamma_{\theta_0}$ . Из свойства (iv) (см. замечание 1) следует, что существует две последовательности  $(z'_n) \in \mathfrak{F} \cap s_{12}^2$ ,  $(z''_n) \in \mathfrak{F} \cap s_{13}^2$ ,  $z'_n \neq z_{12}^2$ ,  $z''_n \neq z_{12}^2$ , такие, что  $\lim_{n \rightarrow \infty} z'_n = z_{12}^2$ ,  $\lim_{n \rightarrow \infty} z''_n = z_{12}^2$ . Имеем  $(h^{-1}(z'_n)) \in T_{k-1}^m$ ,  $(h^{-1}(z''_n)) \in T_k^m$  (см. правую фигуру на рис. 7).

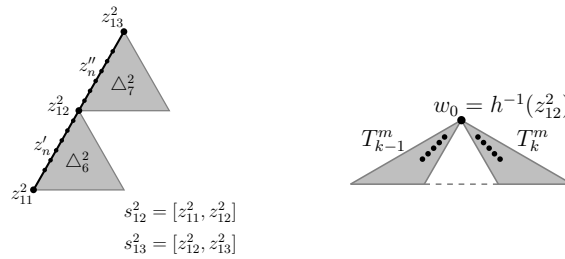


Рис. 7.

Заметим, что  $s_{12}^2 \cup s_{13}^2$  показан лишь как «маленький» отрезок на рис. 2(с), в «увеличенном» виде он дан слева на рис. 7. Очевидно, что

$$w'_n = h^{-1}(z'_n) \rightarrow w_0, \quad w''_n = h^{-1}(z''_n) \rightarrow w_0. \quad (26)$$

Переходя, если необходимо, к подпоследовательностям, можем положить

$$\frac{w'_n - w_0}{\|w'_n - w_0\|} \rightarrow e_1, \quad \frac{w''_n - w_0}{\|w''_n - w_0\|} \rightarrow e_2. \quad (27)$$

Из построения кривой Ван Коха следует, что векторы  $e_1, e_2$  линейно независимы. Имеем

$$h(w'_n) - h(w_0) = h'(w_0)(w'_n - w_0) + o(w'_n - w_0), \quad (28)$$

где  $h'$  — производная Фреше. Аналогично

$$h(w''_n) - h(w_0) = h'(w_0)(w''_n - w_0) + o(w''_n - w_0). \quad (29)$$

Из (27) и (28) получаем

$$\lim_{n \rightarrow \infty} \frac{h(w'_n) - h(w_0)}{\|w'_n - w_0\|} = h'(w_0)(e_1). \quad (30)$$

Аналогично из (27) и (29) имеем

$$\lim_{n \rightarrow \infty} \frac{h(w''_n) - h(w_0)}{\|w''_n - w_0\|} = h'(w_0)(e_2). \quad (31)$$

Заметим, что векторы  $h(w'_n) - h(w_0), h(w''_n) - h(w_0)$  линейно зависимы, поскольку принадлежат одной прямой, проходящей через точки  $z_{11}^2, z_{13}^2$ . С другой стороны, векторы  $h'(w_0)(e_1)$  и  $h'(w_0)(e_2)$  линейно независимы, так как  $h'(w_0)$  — изоморфизм; противоречие. Таким образом,  $\Gamma_{\theta_0}$  и  $\mathfrak{F}$  не диффеоморфны.

**ЗАМЕЧАНИЕ 21.** Подробное доказательство может быть проведено для каждого  $\theta$ , но, как видно, доказательство для  $\theta \neq \theta_0$  немедленно следует из сравнения размерностей Хаусдорфа.  $\square$

**Теорема 22.** Для  $\theta = \theta_0$  отображение  $f = \varphi \circ \psi^{-1}$  является билипшицевым отображением  $\mathfrak{F}$  на  $\Gamma_{\theta_0}$ .

**ДОКАЗАТЕЛЬСТВО.** Пусть  $z_1, z_2 \in \mathfrak{F}$ . Положим  $t_1 = \psi^{-1}(z_1), t_2 = \psi^{-1}(z_2)$ . Из (9) и (23) получаем

$$\begin{aligned} |f(z_1) - f(z_2)| &= |\varphi(t_1) - \varphi(t_2)| \leq 4|t_1 - t_2|^\gamma = 4|t_1 - t_2|^\beta \\ &\leq \frac{8}{\sqrt{3}} \cdot 12^\beta |\psi(t_1) - \psi(t_2)| = \frac{8}{\sqrt{3}} \cdot 12^\beta |z_1 - z_2|. \end{aligned}$$

Аналогично

$$\begin{aligned} |f(z_1) - f(z_2)| &= |\varphi(t_1) - \varphi(t_2)| \geq A(\theta_0)|t_1 - t_2|^\gamma = A(\theta_0)|t_1 - t_2|^\beta \\ &\geq \frac{A(\theta_0)}{8} |\psi(t_1) - \psi(t_2)| = \frac{A(\theta_0)}{8} |z_1 - z_2|. \end{aligned}$$

Таким образом, для  $\theta = \theta_0$

$$\forall z_1, z_2 \in \mathfrak{F} \quad \frac{A(\theta_0)}{8} |z_1 - z_2| \leq |f(z_1) - f(z_2)| \leq \frac{8}{\sqrt{3}} \cdot 12^\beta |z_1 - z_2|, \quad (32)$$

т. е.  $f$  билипшицево.  $\square$

В заключение несколько слов о фрактальной структуре лягушки. Лягушка — самоподобный фрактал в обычном смысле (см. [4] или [10]), порожденный итерированной системой функций (см. [4]) шестью сжимающих подобий с отношением  $\frac{1}{4}$ . Кроме того, так же, как кривая Ван Коха, она является жордановым циппером в смысле [11] (см. также [10]). Лягушка удовлетворяет условию теоремы 4.1 в [11] и в силу этой теоремы является дугой ограниченного поворота. Но теорема 4.1 в [11] не дает конкретной верхней оценки для постоянной Альфорса для этой жордановой дуги. Тем самым следствие 11 несет новую информацию о циппере  $\mathfrak{F}$ . Лягушка  $\mathfrak{F}$  — квазиконформная кривая (по теореме 7), но она не АС-устранима в силу (20) и [9] и не диффеоморфна  $\Gamma_\theta$  для любого  $\theta \in (0, \frac{\pi}{4})$  (по теореме (20)).

Автор благодарит рецензента, пожелания и замечания которого улучшили текст статьи.

## ЛИТЕРАТУРА

1. Пономарев С. П. AC-устранимость, хаусдорфова размерность и  $N$ -свойство // Сиб. мат. журн. 1994. Т. 35, № 6. С. 1175–1183.
2. Пономарев С. П. О хаусдорфовой размерности квазиконформных кривых // Сиб. мат. журн. 1993. Т. 34, № 4. С. 142–148.
3. Пономарев С. П. О некоторых свойствах кривых Ван Коха // Сиб. мат. журн. 2007. Т. 48, № 6. С. 1305–1321.
4. Edgar G. Measure, topology and fractal geometry. New York; Berlin; Heidelberg: Springer-Verl., 1998.
5. Ahlfors L. V. Lectures on quasiconformal mappings. Princeton, NJ; Toronto; New York; London: Van Nostrand Company, 2006. (Univ. Lect. Ser.; V. 38).
6. Rickman S. Characterization of quasiconformal arcs // Ann. Acad. Sci. Fenn. Ser. AI. 1966. V. 395. P. 7–30.
7. Ghamsari M., Herron D. A. Higher dimensional Ahlfors regular sets and chordarc curves in  $\mathbb{R}^n$  // Rocky Mountain J. Math. 1998. V. 28, N 1. P. 191–222.
8. Ghamsari M., Herron D. A. Bilipschitz homogeneous Jordan curves // Trans. Amer. Math. Soc. 1999. V. 351, N 8. P. 3197–3216.
9. Долженко Е. П. О стирании особенностей аналитических функций // Успехи мат. наук. 1963. Т. 18, № 4. С. 135–142.
10. Hutchinson J. Fractals and self similarity // Indiana Univ. Math. J. 1981. V. 30, N 5. P. 713–747.
11. Асеев В. В., Тетенов А. В., Кравченко А. С. О самоподобных жордановых кривых на плоскости // Сиб. мат. журн. 2003. Т. 44, № 3. С. 481–492.

*Статья поступила 3 сентября 2011 г.*

Aneta Gospodarczyk (Господарчик Анета)  
Гданьский университет, Институт математики,  
Гданьск, Польша  
agospo@mat.ug.edu.pl